

09:12  
 ©1995

# ЭКСПЕРИМЕНТАЛЬНОЕ ИССЛЕДОВАНИЕ ЭФФЕКТА СВЕРХВЫСОКОДОБРОТНЫХ КОЛЕВАНИЙ В ОТКРЫТОМ РЕЗОНАТОРЕ ГЕНЕРАТОРА ДИФРАКЦИОННОГО ИЗЛУЧЕНИЯ

*В.Г.Курин, Б.К.Скрынник, В.П.Шестопалов*

Исследование закономерностей поведения комплексных собственных частот электромагнитных колебаний в резонаторах в окрестности особых точек дисперсионного уравнения (ДУ), так называемых морсовских критических точек (МКТ) [1], коренным образом изменяет известные представления о процессах их взаимодействия [2]. Малые изменения неспектральных параметров в этих точках вызывают аномальные явления. К ним относятся самоорганизация между типовых колебаний и эффект сверхвысокодобротности.

Эффект сверхвысокодобротных колебаний обнаружен в открытых волноводных резонаторах с различной конфигурацией неоднородностей [3,4]. В работах [1,5] приводится подробное теоретическое исследование этого эффекта для дифракционных решеток с открытыми каналами излучения. Одной из особенностей обнаруженного эффекта является его "точность". Для его реализации необходимо совместить ряд условий, которые могут быть выяснены из анализа дисперсных кривых решетки, представляющей в виде открытого периодического волновода.

Приведенные работы являются теоретическими исследованиями. В настоящей заметке на основании физического эксперимента впервые приводится анализ эффекта сверхвысокодобротности.

В проведенных экспериментах взаимодействие электромагнитных колебаний реализуется в открытом резонаторе (ОР) генератора дифракционного излучения (ГДИ) [6], рис. 1. Источником электромагнитных волн является электронный поток (ЭП), пролетающий вблизи отражательной дифракционной решетки (ОДР). При таком возбуждении в ОР возникает сложный колебательно-волновой процесс, который можно разделить на первичное поле, возбуждаемое непосредственно ЭП на ОДР, и вторичное, возбуждаемое на ней же отраженными от верхнего зеркала волнами. Кроме того, между зеркалами ОР существует еще и объемное поле.

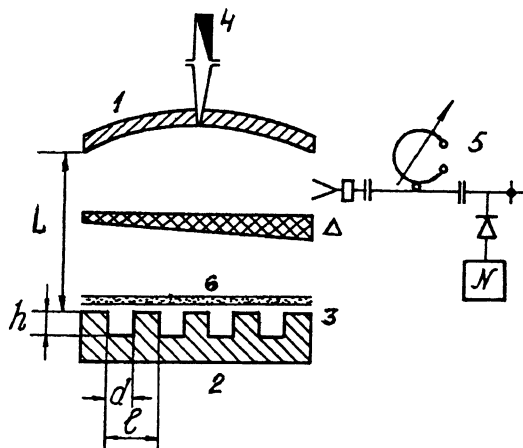


Рис. 1. Схема эксперимента. 1,2 — зеркала ОР; 3 — ОДР, где  $l$  — период,  $d$  — ширина канавок,  $h$  — глубина канавок; 4,5 — измерители мощности и частоты, 6 — электронный поток.

Первые два поля являются поверхностными волнами ОДР, причем вторичное поле запаздывает относительно первичного. Величину этого запаздывания можно изменять путем изменения расстояния  $L$  между зеркалами ОР. Для увеличения эффекта запаздывания между зеркалами ОР помещена кварцевая клиновидная пластина  $\Delta$  (рис. 1). В результате на ОДР образуется два поверхностных поля. Условимся называть их колебаниями ОДР. Когда они неразличимы, имеет место их вырождение. С помощью внешнего управляющего параметра, которым здесь будет  $L$ , можно снимать вырождение, т. е. разделять колебания за счет смещения вторичного поля относительно первичного на ОДР. Высокая естественная разреженность спектра колебаний ОР позволяет подробно исследовать процесс взаимодействия колебаний как в точке совпадения их частот, так и в окрестности этой точки.

Следует заметить, что в соответствии с численными экспериментами [1,5] указанные физические процессы реализуются при малых изменениях ("шевелениях") внешнего управляющего параметра, дисперсионные линии сближаются и расходятся в диапазоне его изменения, например,  $\delta = 0.47 - 0.49$  [5]. В соответствии с этим шаг для изменения  $L$  был выбран  $\Delta L = 0.01$  мм (он значительно меньше длины волны, т. е.  $\Delta L \ll \lambda$ ).

Измеренные дисперсионные кривые  $f(L)$  приведены на рис. 2. Для контроля они были сняты при разных значениях ускоряющего напряжения  $U$  ЭП. Рассмотрим  $f_1(L)$ ,

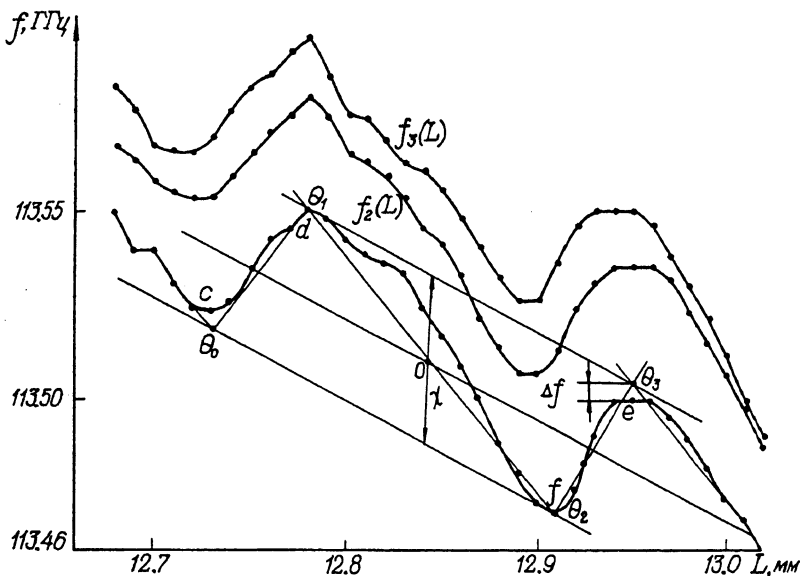


Рис. 2. Дисперсионные кривые  $f(L)$ , снятые при различных значениях ускоряющего напряжения  $U$  ЭП.  $f_1(L) - U_1 = 3103$  В = const,  $f_2(L) - U_2 = 310$  В = const,  $f_3(L) - U_3 = 3109$  В = const. Ток ЭП —  $I_1 = I_2 = I_3 = 70$  мА = const.

здесь  $\chi$  — полоса снятия вырождения. Из рис. 2 видно, что на ветвях  $cd$  и  $fe$  дисперсия аномальная, на  $df$  и ей подобных — нормальная. Соотношения для соответствующих им дисперсий имеют вид

$$u = v + \lambda \frac{dv}{d\lambda}, \quad (1)$$

$$u = v - \lambda \frac{dv}{d\lambda}, \quad (2)$$

где  $u$  и  $v$  — групповая и фазовая скорости на ОДР,  $\lambda$  — длина волны. Из рис. 2 и (1) (2) видно, что типы дисперсий конкурирующие. Нормальная дисперсия характерна для первичного поля (собственное колебание ОДР в режиме лампы обратной волны), аномальная относится к вторичному полю ОДР и навязывается ему путем изменения управляющего параметра  $L$ .

Для удобства рассмотрения отобразим усредненный график  $f_1(L)$  в новый график рис. 3 с координатами  $(\Delta L, \lambda)$ . Точки дисперсионной кривой  $f_1(L)$ , лежащие на границах полосы снятия вырождения  $\theta_1, \theta_2$ , относим к вырожденным морсовским критическим точкам (ВМКТ) [1]. Видно, что  $\Theta_1$

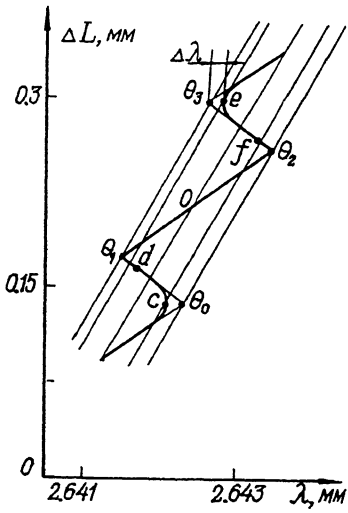


Рис. 3. Усредненная дисперсионная кривая  $f_1(L)$  в координатах  $(\Delta L, \lambda)$ .

и  $\Theta_2$  устойчивы, в них наблюдается вырождение колебания ОДР с одним типом дисперсии в колебание с конкурирующим типом дисперсии. Совсем иная ситуация наблюдается в ВМКТ  $\Theta_0, \Theta_3$ . Они неустойчивы и для них реализуются отображения  $\Theta_0 \rightarrow c, \Theta_3 \rightarrow l$ . Видно, что в окрестностях  $c$  и  $l$  (рис. 2) наблюдаются участки, где  $u = v$ , что возможно в случае реализации равенства, вытекающего из (1), (2).

$$\sum_{i=1}^2 \lambda_i \frac{dv}{d\lambda_i} = 0. \quad (3)$$

Для выполнения (3), очевидно, должны быть равны добротности колебаний  $Q_1(L) = Q_2(L)$ . Таким образом, компенсация дисперсий (3) в ВМКТ (например,  $\Theta_3$ ) делает ее неустойчивой, вызывает катастрофу (отображение  $\Theta_3 \rightarrow l$ ), которая сопровождается резким смещением частоты  $\Delta f$  (рис. 2) или  $\Delta\lambda$  (рис. 3). Если при этом в  $l$  добротности совпадают  $\Delta Q = 0$ , то  $l$  устойчива и имеет место автостабилизация частоты [7]. При  $\Delta Q \neq 0$  реализуется обратное отображение  $l \rightarrow \Theta_3$  (до выравнивания добротностей). Затем цикл будет повторяться.

Таким образом, когда при отображении  $\Theta_3 \rightarrow l$  в  $\Delta Q = 0$ ; точка  $l$  устойчива и переход  $\Theta_3 \rightarrow l$  представляет собой явление самоорганизации междудиплового колебания (МК), а сама точка принадлежит к особым точкам ДУ — МКТ [1].

Область, где  $u = v$  с центром в точке  $l$  (рис. 2), является зоной перестройки генератора на МК. Эта зона физически сходна с областью синхронизации мод в эксперименте Бенара [8], если предположить, что при совпадении частот  $f_1, f_2$  синхронизация переходит в автостабилизацию [7]. В зоне перестройки генератора на МК, когда  $\Delta Q = 0$ , имеет место  $u = v$  и  $\Delta f \Delta L = 0$ . Так как  $\Delta L \neq 0$  и, следовательно,  $Q = \frac{f}{2\Delta f} \Big|_{\Delta f \rightarrow 0} \rightarrow \infty$ . Такая автостабилизация, обусловленная компенсацией дисперсий, создает сверхвысокодобротности. Следовательно, эффект сверхвысокодобротности здесь выступает как проявление стабильности (устойчивости) системы взаимодействующих колебаний генератора.

Таким образом, компенсация дисперсий в окрестностях особых точек ДУ приводит к погашению мнимых составляющих комплексных собственных частот резонатора, и дисперсионные кривые касаются действительной оси [1,6], что и создает точечный эффект сверхвысокодобротности.

Как видно из рис. 2, в отличие от теоретических исследований, этот эффект оказывается не точечным. Такое несовпадение теории с экспериментом связано с тем, что развитая в [1,6] теория является стационарной и линейной, в то время как представленные здесь экспериментальные данные связаны с нелинейными и нестационарными процессами. Изучение нелинейных эволюционных процессов вблизи МКТ уже начато и некоторые данные опубликованы в [9,10].

### Список литературы

- [1] Шестопалов В.П. Морсовские критические точки дисперсионных уравнений. Киев: Наукова думка, 1992. 232 с.
- [2] Штейнишлайгер В.Б. // ДАН СССР. 1949. Т. 59. В. 5. С. 669–672.
- [3] Мележик П.Н., Поединчук А.Е., Тучкин Ю.А., Шестопалов В.П. // ДАН УССР. 1987. В. 8. С. 57–61.
- [4] Кириленко А.А., Сенкевич С.Л. // Письма в ЖТФ. Т. 12. В. 14. С. 876–879.
- [5] Шестопалов В.П., Сиренко Ю.К. // Динамическая теория решеток. Киев: Наукова думка, 1989. 216 с.
- [6] Шестопалов В.П. Дифракционная электроника. Харьков: Изд. ХГУ, 1976. 232 с.
- [7] Курин В.Г., Скрынник Б.К., Шестопалов В.П. // Письма в ЖТФ. 1992. Т. 18. В. 14. С. 33–37.
- [8] Шустер Г. Детерминированный хаос. Москва: Мир, 1988. 232 с.
- [9] Басс Ф.Г., Почанина И.Е., Шестопалов В.П. // ДАН России. 1993. Т. 334. В. 1. С. 32–34.
- [10] Шестопалов В.П. // ДАН России. 1994. Т. 335. В. 4. С. 440–443.

Институт радиофизики и электроники  
Национальной АН Украины  
Харьков

Поступило в Редакцию  
1 декабря 1994 г.